

تحضير وتشخيص مُعَقَّدات جديدة لمزيج من الليكيدات - نيكل (II)

وتقدير فعاليتها الحيوية ودراسة تأثير الليزر عليها

آلاء جاسم محمد

أ.م.د. زهور قتحي داؤد

جامعة الموصل / كلية التربية للعلوم الصرفة / قسم الكيمياء

(قدم للنشر في ٢٠١٩/٤/٢٨ ، قبل للنشر في ٢٠١٩/٦/١١)

ملخص البحث: حضر ليكدي الأسيتون سemicarbazone (AScH) و DO_xPH_2 ، ٤-ثنائي أوكريم بنزان ($\text{AScH}(\text{DO}_x\text{PH}_2)$)، أعقبت بتحضير مُعَقَّدات جديدة للنيكل (II) حاوية على مزيج من ثلاث ليكيدات {شسل (AScH) و DO_xPH_2 و ٢-اميونوفينول (APOH)} باستعمال ثالث طرائق {التصعيد الحراري وقناة التسخين بأشعة الأمواج الدقيقة وقناة الأمواج فوق الصوتية}، وشخصت جميع المركبات باستعمال تقانات تحليمية وفيزيائية وطيفية. دلت قياسات التوصيلية الكهربائية أن المُعَقَّدات المُحضررة عند دالة حامضية = ٧-٦ كانت إلكتروناتية (٢:١)، أمّا المُعَقَّدات المُحضررة في الوسط القلوي ف تكون غير إلكتروناتية. سلكت جميع الليكيدات أعلاه بشكل ليكيدات ثانية السن كيلبيتة، وتحتاج مُعَقَّدات ذات أشكال ثانية السطوح. درس تأثير أشعة الليزر على الليكيدات والمُعَقَّدات الصلبة ولم يلاحظ أي تأثير عليها من خلال تأثير درجات الانصهار أو التفكك والتوصيلية الكهربائية والأطيف الالكترونية والأطيف المُستقرة تجاه هذا النوع من الإشعاع. كما اختبرت الفعالية الحيوية لمجموع المركبات المُحضررة أعلاه ضد بكتيريا (*E. coli* و *Streptococcus species* و *Staphylococcus aureus*) فُوجِدَ أنها ليس لها أي تأثير على البكتيريا قيد الدرس.

الكلمات الدالة: مزيج من ثلاث ليكيدات عضوية، التسخين بأشعة الأمواج الدقيقة، الأمواج فوق الصوتية، أشعة الليزر، الفعالية الحيوية.

Preparation, Characterization of New Mixed Ligands- Nickel (II) Complexes, Evaluation of Biological Activities and Study of Laser Effect on Them

Abstract: Preparation of two ligands acetonesemicarbazone (AScH) and 2,4-dioximepentane (DO_xPH_2), followed by the preparation of new Ni(II) complexes containing mixed of three ligands {including (AScH), (DO_xPH_2) and 2-aminophenol (APOH) using three ways {includes reflux method, heating using microwave rays technique and ultrasonic technique}, all the compounds have been characterized using quantitative, physical and spectral techniques. The electrical conductivity indicate that the complexes prepared in slightly neutral medium ($\text{pH}=6-7$) are electrolytes (1:2), meanwhile the complexes prepared in alkaline medium are non-electrolytes. All the ligands above acts as bidentate chelating ligands, and octahedral geometries of the complexes are resulted. The effect of laser have been studied on solid ligands and complexes, no effects have been observed on all the compounds through the results of melting or decomposition point, conductivity and electronic spectra, this means that all the compounds are stable and are not affected by this kind of radiation. Also the biological activity of all the prepared compounds have been evaluated against pathogenic bacterial strains (*Staphylococcus aureus*, *Streptococcus species* and *E. coli*), all the compounds were found to have no antibacterial activity.

المقدمة

جداً يمكن ان يُخدش العيون والجلد والجهاز التنفسى⁽²⁵⁾ . ودرس هو ومعقداته وشخصت باستخدام تقانات مختلفة⁽²⁶⁾.

رَكَز الباحثون جُلَّ اهتمامهم في مجال كيمياء المعقدات الحاوية على مزيج من الليكيدات لدورها المهم في العمليات الفيزيولوجية والحيوية واستناداً إلى ذلك فإن جزءاً كبيراً من الكيمياء التنسقية المدونة تحتوي على مزيج الليكيدات مع العناصر الفلزية وبجالات تأكسدية مختلفة⁽³⁰⁻²⁸⁾. ونظراً للأهمية البالغة فقد حضرت داؤد ومعاونيها معقدات حاوية على مزيج من الليكيدات وتم تشخيصها باستخدام تقانات كيميائية وفيزيائية وطيفية⁽³³⁻³¹⁾.

تُعد تقانة الأمواج الدقيقة من أبرز التقانات التي خطّت خطأً جديداً في أفق تحضير المعقدات الكيميائية بوصفها مصدراً مميراً للحرارة، وكما هو معلوم فإن كثافة الناتج العالية و زمن التفاعل القصير والتنقاوة العالية للمركبات النهائية فضلاً عن تطبيقاتها غير المحدودة في كيمياء السوائل وفي مجالات التحاضير الخالية من المذيب (الحالة الصلبة). يتراوح تردد إشعاع الأمواج الدقيقة ما بين 0.3 GHz و 300 GHz وجميع أفران الأمواج الدقيقة المعدة تعمل عند تردد 2.45 GHz وطول موجي 2.24 سم¹ لتجنب التداخلات⁽³⁷⁻³⁴⁾. تتضمن تقانة الأمواج فوق الصوتية أصوات ذات ترددات أعلى من مدى السمع البشري، ويبلغ مقدار ترددتها

درس النيكل بكثافة وذلك للاختلافات الكبيرة في أساليب التناسق والأشكال لمعقداته. ويعتبر عنصراً من العناصر المكونة للسبائك المعدنية كالفولاذ المقاوم للصدأ، وأُستخدمت سبائكه في صناعة المغناطيط الدائمة ذات القوة العالية وفي صناعة الماكينات الثقيلة والأدوات المستخدمة في درجات الحرارة العالية وفي العديد من العمليات الت Cedidah، وفي كثير من الصناعات المهمة، والاستخدام الحديث له مع الكadmium هو في صناعة البطاريات التي يمكن شحنها مرة ثانية. ويعتبر النيكل ضاراً للصحة إذ يُسبب الكثير من الامراض⁽¹⁻⁵⁾.

للأوكسجينات دور بارز في العديد من مجالات الحياة المختلفة⁽¹¹⁻⁶⁾، فضلاً عن كونها صنفاً مهماً من الليكيدات العضوية ذات الأهمية البالغة في تكوين المعقدات مع العناصر الانتقالية وغير الانتقالية⁽¹⁷⁻¹²⁾. للسميكاربازونات أهمية في تكوين المعقدات، فضلاً عن فعاليتها الحيوية⁽²⁴⁻¹⁸⁾. ٢- أمينوفينول مركب عضوي يُعرف أيضاً باسم أورثو- أمينوفينول أو أورثو- هيدروكسي إينيلين أو ٢- هيدروكسي إينيلين، يمتلك دوراً في الأيض البدخلي. ويمكن للجسم أن يتمتصه من خلال الجلد أو الاستنشاق لرذاذه عند اشتعاله. يُعد ٢- أمينوفينول خطراً وضاراً عند ابتلاعه وسام

(DO_xPH_2) ⁽⁴⁶⁾ باستخدام طريقة التصعيد الحراري وبطريقة التسخين بفرن الأمواج الدقيقة كذلك بالأمواج فوق الصوتية.

أذيب (9.602 غم، 0.086 مول) سبيكاربازيد و (7.063 غم، 0.086 مول) من خلات الصوديوم المائية في (10 مل) ماء مُقطر وأضيف الأسيتون (5 مل) حرك المزيج للحصول على محلول رائق (إذا كان محلول مُعكراً سخن للحصول على محلول رائق) ووضع المزيج في قنينة مغلقة ووضع المزيج في جهاز الأمواج فوق الصوتية لمدة ساعتين ورشح الراسب وغسل بالماء المُقطر البارد (7 مل) ثم بالإيثر البارد (5 مل) وأعيدت بلورته بالإيثanol (10 مل). تجت بلورات بيضاء من (AScH)، درجة انصهارها 260 °م وزنها الجُزئي (115.14).

غم، 0.086 مول) سبيكاربازيد و (7.063 غم، 0.086 مول) خلات الصوديوم المائية وأضيف إليهما الأسيتون (5 مل). حرك المزيج جيداً إلى أن يصبح متجانساً ووضع في فرن الأمواج الدقيقة لمدة سبع دقائق وغسل الناتج بالماء المُقطر البارد (5 مل) ثم بالإيثر (5 مل) ورشح الناتج. تجت بلورات بيضاء من (AScH)، درجة انصهارها 260 °م وزنها الجُزئي (115.14).

أكثر من ٢٠٠٠٠ هرتز. وقد قام العلماء بتطوير عدة استخدامات للموجات فوق الصوتية في مجال الطب والصناعة وفي تحضير المركبات الكيميائية⁽⁴¹⁻³⁸⁾.

كان لإشعاع الليزر أثر بالغ في الاستخدامات الطبية والصناعات الإلكترونية الدقيقة. تعد تقنية الليزر وسيلة لإنتاج حزمة ضوئية تُستخدم وبكثرة علمياً وتطبيقياً⁽⁴⁵⁻⁴²⁾.

إن المهدف من البحث هو تحضير مركبات جديدة واستخدام أساليب حديثة (الكيمياء الخضراء) بالإضافة إلى التقليدية والتعرف على خصائصها وتشعيتها بالليزر وتقدير فعاليتها الحيوية.

الجزء العملي

١- المواد الكيميائية المستخدمة

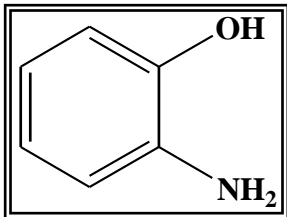
جهّزت المواد الكيميائية والمذيلات المستخدمة من قبل شركة Fluka أو BDH أو Sigma أو ThomasBaker أو Molekula.

٢- تحضير الليكيدات

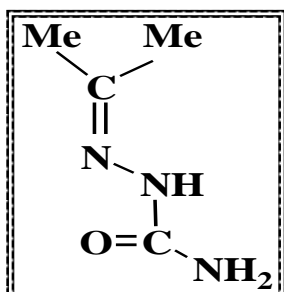
حضر الليكidan أسيتون سبيكاربازون (AScH)⁽⁴⁶⁾ ثم أعقب بتحضير الليكيد ٢،٤- شائي أوكتين ببنان

152 ° م وزنها الجزيئي (130.15). وزن (6.941 غم، 0.050 مول) هيدروكسيل أمين هيدروكلوريد و 4,2-ثنائي أون بنتان و (0.25 غم) خلات الصوديوم المائية. حرك المزيج جيداً إلى أن يصبح متجانساً ووضع في فرن الأمواج الدقيقة لمدة خمس دقائق وغسل الناتج بالماء المقطر البارد (5 مل) ثم بالإثر (5 مل). تجت بلورات بيضاء من (DO_XPH₂)، درجة انصهارها 152 ° م وزنها الجزيئي (130.15).

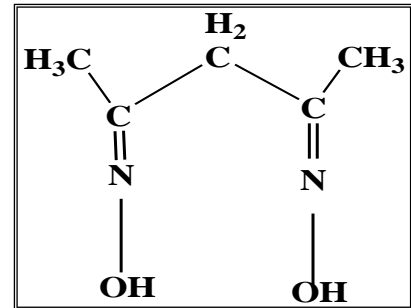
أذيب (6.941 غم، 0.050 مول) هيدروكسيل أمين هيدروكلوريد في (5 مل) ماء مقطر بالتسخين، أضيف (5 مل) 4,2-ثنائي أون بنتان إلى محلول أعلاه وأضيفت خلات الصوديوم المائية (0.25 غم) إلى مزيج التفاعل ووضع في قنية مغلقة ووضع في جهاز الأمواج فوق الصوتية لمدة ساعتين ورشح الراسب وغسل بالإيثanol البارد (15 مل) ثم بالإثر البارد (10 مل). تجت بلورات بيضاء من (DO_XPH₂)، درجة انصهارها



(APOH)



(AScH)



(DO_xPH₂)

٣- تحضير المُعَقدات

والليكيدات (الجدول ١). ورشح الراسب المُتَكَوْن وغُسل بالماء المقطر البارد ثم بالإيثر وجُفِّف عند درجة (100) ° م وحضرت المعقّدات أيضاً في الوسط المعادل تقريباً من المقطر البارد ثم بالإيثر وجُفِّف عند درجة (100) ° م وحضرت المعقّدات أيضاً في الوسط المعادل تقريباً من تفاعل املح النيكل(II) مع الليكيدات بنفس النسب اعلاه (الجدول ١). سحق المزيج إلى أن يصبح ناعماً ومتجانساً ووضع في فرن الأمواج الدقيقة لمدة زمنية، غُسل الناتج بالماء المقطر البارد (10 مل) ثم بالإيثر البارد (5 مل) وجُفِّف عند درجة (100) ° م. في الوسط القلوي أضيفت كمية من هيدروكسيد البوتاسيوم إلى مزيج الملح الفلزي والليكيدات (الجدول ١). وفصل الراسب المُتَكَوْن بالترشيح وغُسل بالماء المقطر البارد ثم بالإيثر وجُفِّف عند درجة (100) ° م.

حضرت المعقّدات عن طريق تفاعل املح النيكل(II) مع الليكيدات. في الوسط المعادل تقريباً، أجري التفاعل في وسط مائي بنسبة 1:1:1:1:1 فلن: AScH : DO_xPH₂ : APOH₂، إذ أخذ وزن الملح الفلزي دائماً 0.5 غم و(0.2615 غم، 0.002 مول) ليكيد (AScH) و (0.2313 غم، 0.002 مول) ليكيد (DO_xPH₂) الكييات المناسبة من الليكيد APOH (الجدول ١). صُعد المزيج حراريًّا لمدة ثلاثة ساعات وركّز المحلول إلى ما قبل الجفاف وأضيف الإيثانول لإكمال عملية الترسيب، رُشح الراسب وغُسل بالماء المقطر البارد ثم بالإيثر وجُفِّف عند درجة (100) ° م. في الوسط القلوي أُضيف محلول هيدروكسيد البوتاسيوم (2M) إلى مزيج الملح الفلزي

أ.م. د. زهور فتحي داؤد و آلاء جاسم محمد: تحضير و تشخيص مُعَقَّدات . . .

زمنية(الجدول ١)، رُكِّزَ الخلول إلى ما قبل الجفاف وأضيف الإيثanol لإكمال الترسيب ورشح الراسب وغسل بالماء المُقطّر البارد ثم بالإثير وجفف عند درجة (100) ° م.

وُخُضِّرَت المُعَقَّدات أيضًا في الوسط التعادل تقريبًا من تفاعل حالي املاح النيكيل(II) مع الليكيدات أُجري التفاعل في وسط مائي بنسبة ١:١:١:١ باستعمال الأمواج فوق الصوتية لدد.

الجدول (١) : يوضح الصيغ الكيميائية والنسب المئوية للمركبات المحضرّة وظروف التفاعل وزن المركبات المناسبة من الليكيدات

الرقم	الصيغة الكيميائية المقترنة للمعقدات	% الماء	KOH كمية (ملل أو غرام)	زنون *	pH	زنون APOH (غرام)	زنون DO _x PH ₂ (غرام)	زنون ASCH (غرام)	صيغة الملح الكيميائية
1	[Ni(ASCH)(DO _x PH ₂)(APOH)](Ac) ₂	47.78	-	-	6-7	0.219	0.262	0.231	Ni(CH ₃ COO) ₂ .6 H ₂ O
2	[Ni(ASCH)(DO _x PH ₂)(APOH)](Ac) ₂	88.79	-	180	6-7	0.219	0.262	0.231	Ni(CH ₃ COO) ₂ .6 H ₂ O
3	[Ni(ASCH)(DO _x PH ₂)(APOH)](Ac) ₂	91.82	-	10	6-7	0.219	0.262	0.231	Ni(CH ₃ COO) ₂ .6 H ₂ O
4	[Ni(ASCH)(DO _x PH ₂)(APO)]	76.27	ـ ٤٠	-	10	0.219	0.262	0.231	Ni(CH ₃ COO) ₂ .6 H ₂ O
5	[Ni(ASCH)(DO _x PH ₂)(APO)]	87.32	ـ ٠.٣٤٩	ـ ٥	10	0.219	0.262	0.231	Ni(CH ₃ COO) ₂ .6 H ₂ O
6	[Ni(ASCH)(DO _x PH ₂)(APOH)]Cl ₂	71.67	-	-	6-7	0.230	0.274	0.242	Ni Cl ₂ .6 H ₂ O
7	[Ni(ASCH)(DO _x PH ₂)(APOH)]Cl ₂	61.86	-	ـ ١٨٠	6-7	0.230	0.274	0.242	Ni Cl ₂ .6 H ₂ O
8	[Ni(ASCH)(DO _x PH ₂)(APOH)]Cl ₂	89.35	-	ـ ٤	6-7	0.230	0.274	0.242	Ni Cl ₂ .6 H ₂ O
9	[Ni(ASCH)(DO _x PH ₂)(APO)]	89.04	ـ ٠٦٥	-	ـ ٩-١٠	ـ ٠.٢٣٠	ـ ٠.٢٧٤	ـ ٠.٢٤٢	Ni Cl ₂ .6 H ₂ O
10	[Ni(ASCH)(DO _x PH ₂)(APO)]	85.57	ـ ٠.٣٦	ـ ٤	ـ ٩-١٠	ـ ٠.٢٣٠	ـ ٠.٢٧٤	ـ ٠.٢٤٢	Ni Cl ₂ .6 H ₂ O
11	[Ni(ASCH)(DO _x PH ₂)(APOH)](SO ₄) ₂	71.70	-	ـ ١٢٠	6-7	ـ ٠.١٩٤	ـ ٠.٢٣٢	ـ ٠.٢٠٥	Ni SO ₄ .6 H ₂ O
12	[Ni(ASCH)(DO _x PH ₂)(APOH)](SO ₄) ₂	50.74	-	-	6-7	ـ ٠.١٩٤	ـ ٠.٢٣٢	ـ ٠.٢٠٥	Ni SO ₄ .6 H ₂ O
13	[Ni(ASCH)(DO _x PH ₂)(APOH)](SO ₄) ₂	99.28	-	ـ ٥	6-7	ـ ٠.١٩٤	ـ ٠.٢٣٢	ـ ٠.٢٠٥	Ni SO ₄ .6 H ₂ O
14	[Ni(ASCH)(DO _x PH ₂)(APO)]	87.44	ـ ٥٥	-	ـ ١٠-١١	ـ ٠.١٩٤	ـ ٠.٢٣٢	ـ ٠.٢٠٥	Ni SO ₄ .6 H ₂ O
15	[Ni(ASCH)(DO _x PH ₂)(APO)]	94.28	ـ ٠.٣١٠	ـ ٩	ـ ١٠-١١	ـ ٠.١٩٤	ـ ٠.٢٣٢	ـ ٠.٢٠٥	Ni SO ₄ .6 H ₂ O

* تعني زمن التفاعل بالأمواج فوق الصوتية ون* تعني زمن الشعاع بوزن الأمواج الدقيقة وـ * تعني قدرة pH الدالة حاسبة

نوع EuroE3000/Italy - جامعة المستنصرية وفي مركز

القياسات التحليلية والفيزيائية والطيفية والفعالية الحيوية :

البحوث العلمية والتطبيقية- تركيا- ديار بكر- جامعة دايك

تم حساب كمية الكاربون والهيدروجين والنتروجين

Instruments باستعمال جهاز إيطالي المنشأ من نوع :

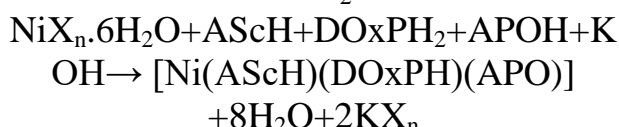
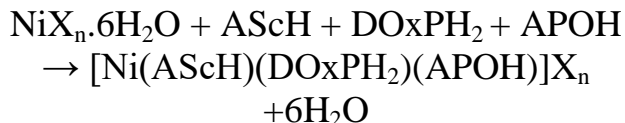
والكربون (CHNS) بجهاز في مركز البحوث العلمية والتطبيقية

SCIENTIFIC Magnetic Susceptibility) ML2 or MK1 (MSB)) بريطاني المنشأ. قيست أطيف الأشعة تحت الحمراء للليكيدات والمُعَقدات المُحضرَة بجهاز من نوع Model Alpha-Bruker الألماني المنشأ المتواجد في كلية التربية - جامعة تكريت وجهاز في كلية الصيدلة - جامعة الموصل، إذ تم قياس النماذج على شكل مسحوق بوضعها مباشرةً أمام حزمة الأشعة تحت الحمراء. وقيست الأطيف الإلكترونية (طيف الأشعة فوق البنفسجية- المرئية) للليكيدات ومُعَقداتها باستخدام جهاز- (Shimadzu UV-1650 PC UV- Visible Spectrophotometer) باستخدام مُذيب ثُنائي مثيل فورماميد وبتركيز 10^{-3} و 10^{-1} مولاري وباستعمال خلايا الكوارتز ذات مسار 1 سم في المدى 1100-200 نانومتر وفي درجة حرارة 25° م. حضرت الليكيدات والمُعَقدات بطريقة التسخين بفرن الأمواج الدقيقة موديل MM821AAN نوع MK92NW ذو قدرة 500 واط. شُعّعت الليكيدات والمُعَقدات المُحضرَة الصلبة باستخدام إشعاع ليزري نوع هيليوم - نيون (الليزر المرئي) ذو قدرة 1 ملي واط وطول موجي 700- 600 نانومتر وفترات زمنية تراوحت بين نصف ساعة إلى ساعتين.

. كما تم Elemental Combustion Costech حساب كمية النikel⁽⁴⁷⁾ بجهاز مطياف الامتصاص الذري من نوع Sense AAGBC Scientific Equipment في المعهد التقني الطبي / جامعة التقنية الشمالية. وعُيّنت كمية الكلور باستخدام الطريقة الحجمية (التسخين)⁽⁴⁷⁾. قيست درجات الإنصهار أو التفكك للليكيدات ومُعَقداتها المُحضرَة باستخدام جهاز (Richert- 9300 وجهاز WME Jung Heizbank) في كلية التربية للعلوم الصرفة- جامعة الموصل وجهاز قياس الإنصهار- (DELHI) OPTICS TECHNOLOGY) 110034 في المعهد الطبي - جامعة التقنية الشمالية. وقيست التوصيلية الكهربائية للمُعَقدات المُحضرَة في كلية التربية للعلوم الصرفة-جامعة (Multiline F/SET-EWTW Wiscenschaf Tecchnische Werkattem 82362 Weichem) Conductivity Meter-Model LF-42) باستخدام مُذيب ثُنائي مثيل فورماميد وبتركيز 10^{-3} مولاري بدرجة حرارة 25° م. وقيست المغناطيسية للمُعَقدات المُحضرَة عند درجة حرارة 25° م باستخدام طريقة فرادي بجهاز صممته (SHERWOOD D.F. Evans) نوع

أ.م. د. زهور فتحي داؤد و آلاء جاسم محمد: تحضير و تشخيص معقدات . . .

وبطريقة التسخين بأشعة الأمواج الدقيقة في كل من الوسطين المُتعادل
تقريباً والقلوي كما في المعادلات الآتية:



حيث $\text{X} = \text{SO}_4^{2-}$ أو Cl^- أو CH_3COO^-

أثبتت النتائج التحليلية بأنها كانت مُتفقة مع الصيغ المفترحة والمدونة
في الجدول رقم (2)، كانت مُتفقة أيضاً مع الصيغ المفترحة

اختبرت الفعالية الحيوانية للبيكيدات والمعدّات على عدد
من البكتيريا المرضية (*Staphylococcus aureus*) و *Streptococcus specie* و *E. coli*
الانتشار على سطح الأكار كمضادات للبكتيريا من قبل قسم علوم
الحياة - كلية العلوم - جامعة الموصل.

النتائج والمناقشة

يمكن التعبير عن تكون مُعدّات النيكل (II) قيد الدرس
والمحضرة بطريقة التصعيد الحراري وطريقة الأمواج فوق الصوتية

الجدول (2): النتائج الكمية للعناصر في المعدّات

ن	%Ni (عملية) نظرياً	%Cl (عملية) نظرياً	%S (عملية) نظرياً	%N (عملية) نظرياً	%H (عملية) نظرياً	%C (عملية) نظرياً
1	(10.97)11.05			(15.76)15.82	(5.97) 6.07	(42.90) 42.96
2	(11.00)11.05			15.82	6.07	42.96
3	(10.99)11.05			(15.78)15.82	(6.00) 6.07	(42.86)42.92
4	(14.15)14.28			20.44	5.88	43.83
5	(14.22)14.28			(20.38) 20.44	(5.84) 5.88	(43.79) 43.83
6	12.08)12.13	(14.60)14.67		(17.33)17.36	(5.37) 5.41	(37.16)37.22
7	(12.09)12.13	(14.55)14.67		17.36	5.41	37.22
8	(12.10)12.13	(14.63)14.67		17.36	5.41	37.22
9	(14.21)14.28			(20.40) 20.44	(5.82)5.88	(43.78)43.83
10	(4.23)(14.28			20.44	5.88	43.83
11	(11.48)11.53		6.30	16.50	5.15	35.38

12	(11.48)11.53		(6.23) 6.30	(16.46)16.50	(5.11)5.15	(35.33) 35.38
13	11.50)11.53		(6.26) 6.30	(16.47)16.50	(5.08) 5.15	(35.34)35.38
14	(14.23)14.28			20.44	5.88	43.83
15	(14.25)14.28			(20.39) 20.44	(5.85) 5.88	(43.80)43.83

المُعَدَّات تنشر وبعضاً الآخر يتقَكَّكُ، تبيَّن من قياسات التوصيلية الكهربائية أنَّ المُعَدَّات المُحضَّرة في الوسط المُتعادل قليلاً (الدالة الحامضية = 6-7) تكون مُوصلة إلِكتروليتية بنسبة 2:1 بينما تسلُك المُعَدَّات المُحضَّرة في الوسط القلوي سلوك المركبات المُتعادلة فهي غير إلِكتروليتية⁽⁴⁸⁾، أعطت القياسات المغناطيسية المُعَدَّات التيكل قيمًا تحصر بين (3.1605-2.8580) بور مغناطون، مما يرجح كون ذرَّة التيكل سُداسيَّة التناسق ذات شكل ثمانِي السطوح عالي البرم⁽⁴⁹⁾. وكما مُبيَّن في الجدول رقم(3).

أكَّدت النتائج الكميَّة والمُعادلات المذكورة في أعلىه أنَّ النسبة المولية للتفاعل هي 1:1:1:1 (نيكل: AScH: APOH: DOxPH₂) . كانت المُعَدَّات الناتجة مواداً صلبة مُلوَّنةً ومسقَرَّةً، وذوات شحنة موجبة (+2) في الوسط المُتعادل قليلاً (الدالة الحامضية = 6-7)، بينما تبُث مُعَدَّات مُتعادلة الشحنة في الوسط القلوي. تذوب المُعَدَّات في مُذيب ثُنائي مثل فورمايد DMF إلا أنها قليلة الذوبان جدًا في مُذيب ثُنائي مثل سلفوكسيد وعدية الذوبان في مُذيب الإيثانول والميثانول. كما أنَّ

الجدول (٣) : يوضح الصفات الفيزيائية والتوصيلية الكهربائية والتقييم المغناطيسية للمُعَدَّات المُحضَّرة

ت	μ_{eff} (B.M)	M.wt	Δ_M	درجة الإصهار أو التفكك (°)	اللون
1	3.1605	531.2189	138	260	بني غامق
2	3.1478	531.2189	136	260	بني غامق
3	3.1063	531.2189	139	260	بني غامق
4	2.9339	411.1116	5	240*	زنفي فاتح
5	2.9318	411.1116	7	240*	زنفي فاتح
6	2.9241	484.0335	159	240	بني غامق
7	2.8580	484.0335	158	240	بني غامق

أ.م. د. زهور فتحي داؤد وآلاء جاسم محمد: تحضير وتشخيص معدّات . . .

اللون	درجة الإصهار أو التكك (°M)	Δ_M	M.wt	μ_{eff} (B.M)	ت
بني غامق	240	160	484.0335	2.8980	8
زنفي فاتح	240*	7	411.1116	2.9337	9
زنفي فاتح	240*	5	411.1116	2.9270	10
بني غامق	244	130	509.1891	3.0239	11
بني غامق	244	129	509.1891	3.0453	12
بني غامق	244	132	509.1891	3.0256	13
زنفي فاتح	240	5	411.1116	2.9211	14
زنفي فاتح	240	6	411.1116	2.9185	15

الواطئة للمعدّات المُحضرّة مقارنة مع عامل راكا لأيون النيكل (II)

الحر ($B_0 = 1084 \text{ سم}^{-1}$) إلى السحب الإلكتروني في الأغلفة الخارجية الملوءة جُرئياً للنيكل (II) بتأثير المجال، فكما قلت قيمة B يزداد السحب وعليه تزداد الخاصية التساهمية للأصارة بين الفلز والليكيد $M-L^{(53,52)}$. تقترح النسبة β المحسوبة للمعدّات في أواصر فلز-ليكيد. وقد حُسبت قيم B و β لمعدّات النيكل (II) باستخدام العلاقات الآتية: $v_1 = 10Dq$ و $\beta = B/B_0^{(51)}$.

الأطیاف فوق البنفسجية - المرئية

أعطت المعدّات المُحضرّة أطیاف d-d فضلاً عن أطیاف انتقال الشحنة، أظهرت الأطیاف الإلكترونية لمعدّات النيكل (II) حزمتي امتصاص في المدى $14658 - 15419 \text{ سم}^{-1}$ تعود إلى الانتقال $^3T_1g \leftarrow ^3A_2g$ (v_2) $22779 - 24038 \text{ سم}^{-1}$ تعود إلى الانتقال $^3T_1g(P) \leftarrow ^3A_2g$ (v_3) كما تم حساب الحزمة v_1 التي تعود للانتقال $^3T_2g(F) \leftarrow ^3A_2g$ ، يؤكّد ظهور هذه الحزم أنّ لمعدّات النيكل (II) هذه بنية ثمانية السطوح على البرم $^{(111-113)}$. تم حساب قيم التنافر الإلكتروني (عامل راكا) B لجميع المعدّات أعلاه الثمانية السطوح $^{(50)}$ ، تُعزى قيم B

المجدول (4): تأثير الطيف فوق البنفسجي - المرئي وعوامل راكا

رقم المعد	C.F.S.E (cm ⁻¹)	β	v_3/v_2	v_3/v_1	v_2/v_1	Dq/B	10Dq (cm ⁻¹)	B (cm ⁻¹)	C.T (cm ⁻¹)	v_3 (cm ⁻¹)	v_2 (cm ⁻¹)	v_1 (cm ⁻¹)
1	12244.90	0.53	1.56	2.34	1.50	1.8	1020.41	569.61	36630.04	23923.44	15374.96	10204.08
2	12244.90	0.53	1.56	2.34	1.50	1.8	1020.41	569.61	36630.04	23923.44	15374.96	10204.08
3	12244.90	0.53	1.56	2.34	1.50	1.8	1020.41	569.61	36630.04	23923.44	15374.96	10204.08
4	12232.42	0.55	1.56	2.37	1.52	1.7	1019.36	597.82	34364.26	24038.46	15419.15	10193.68
5	12232.42	0.55	1.56	2.37	1.52	1.7	1019.36	597.82	34364.26	24038.46	15419.15	10193.68
6	12182.74	0.47	1.55	2.28	1.47	2.0	1015.23	506.02	34013.61	23094.69	14813.78	10152.28
7	12182.74	0.47	1.55	2.28	1.47	2.0	1015.23	506.02	34013.61	23094.69	14813.78	10152.28
8	12182.74	0.47	1.55	2.28	1.47	2.0	1015.23	506.02	34013.61	23094.69	14813.78	10152.28
9	12232.42	0.55	1.56	2.37	1.52	1.7	1019.36	597.82	34364.26	24038.46	15419.15	10193.68
10	12232.42	0.55	1.56	2.37	1.52	1.7	1019.36	597.82	34364.26	24038.46	15419.15	10193.68
11	12244.90	0.46	1.55	2.23	2.28	2.0	1020.41	499.10	36630.04	22779.04	14658.33	10204.08
12	12244.90	0.46	1.55	2.23	2.28	2.0	1020.41	499.10	36630.04	22779.04	14658.33	10204.08
13	12244.90	0.46	1.55	2.23	2.28	2.0	1020.41	499.10	36630.04	22779.04	14658.33	10204.08
14	12232.42	0.55	1.56	2.37	1.52	1.7	1019.36	597.82	34364.26	24038.46	15419.15	10193.68
15	12232.42	0.55	1.56	2.37	1.52	1.7	1019.36	597.82	34364.26	24038.46	15419.15	10193.68

أطيف الأشعة تحت الحمراء

مجموعتي الأزوميشن مع الأيون الفلزي^(53,52). ظهر التردد الامطاطي لمجموعة N-O في المنطقة (989) سـ⁻¹ وعند التناسنق مع الأيون الفلزي لوحظ إزاحة نحو تردد أوطأ وهذا يدل على تناسق ذرتى تتروجين الأوكتيم. يظهر التردد الامطاطي لمجموعة OH في منطقة (3109-3184) سـ⁻¹، ولاحظ عند تناسق ليكيد الأوكتيم مع الأيون الفلزي في الوسط المتعادل قليلاً (7-6) أنها تزاح نحو تردد أقل بسبب تناسق تتروجين الأوكتيم مع الأيون الفلزي، أما في الوسط القلوي فنتيجة إزالة بروتون من مجموعة OH واحدة فقط . فيزال بروتون واحد فقط ويبقى البروتون الآخر غير مُزال^(54,53) .

سجّلنا أطيف الأشعة تحت الحمراء للليكيدات ASCH و DO_XPH₂ و APOH ومعدقاتها في المدى 4000-400 سـ⁻¹، والجدول(6) يبيّن قيم الحزم ذات العلاقة ومواعدها في هذه الأطيفات. تمت دراسة موقع التناسنق للليكيدات وتكون الأواصر بين الفلز - الليكيد بمقارنة أطيف الأشعة تحت الحمراء للليكيدات الحرة ومعدقاته. ظهر التردد الإمطاطي لمجموعة الأزوميشن للليكيد الأوكتيم في المنطقة (1662) سـ⁻¹ وعند تناسق هذا الليكيد مع الأيون الفلزي في الوسط المتعادل قليلاً (7-6) لوحظ أنّ الحزمة تزاح نحو تردد أقل، توضّح هذه الإزاحة قلة خاصية الآصرة المزدوجة في مجموعة الأزوميشن ويدل على تناسق

الميدروجينية (يحدث عادة إنكسار بالآصرة الميدروجينية عند التناست مُسبباً لزاحة التردد الامطاطي لمجموعة NH نحو تردد أعلى) وتأثير التناست (الذى يُسبب لزاحة الحزمة نحو تردد أوطاً)، فضلاً عن وجود العديد من الجاميع الأخرى التي تظهر في الموقع أعلى (على سبيل المثال OH و NH₂). ومهما يكن ففي حالة المُعقدات المُتكتلة في الوسط المُتعادل تظهر حزمة NH في الموقع نفسه تقريباً، ومن المتوقع عدم وجود تناست بين ذرة نتروجين الأيميدو مع الأيون الفلزي مما يعزز الشكل الكيتوني (C=O) في الليكند. أما في حالة المُعقدات المُحضررة في الوسط القلوي فبسبب وجود الأواصر الميدروجينية يتعدّر ملاحظة إختفاء NH، وعلى أية حال فمن المؤكّد إختفاء هذه الحزمة في الوسط القلوي⁽⁵²⁾ بسبب الشكل الإينولي في الليكند أعلى⁽⁵²⁾. كما أظهر طيف IR للليكند أعلى حزمة عند (1445 سـ⁻¹) تعود إلى تردد الانحناء لمجموعة NH₂، ولوحظ بقائها في الموقع نفسه في أطيف جميع المُعقدات مما يدل على عدم تناست هذه المجموعة مع الأيون الفلزي⁽⁵⁵⁾.

يظهر التردد الامطاطي لمجموعة C-O الفينولية في الليكند عند (1000) سـ⁻¹ وعند الارتباط مع الأيون الفلزي تزاح نحو تردد أعلى (1105-1222) سـ⁻¹ هذا يدل على ارتباطها مع الأيون

ظهر التردد الامطاطي لمجموعة الأزوبيثين الليكند السميكاربازون في المنطقة (1678) سـ⁻¹ وعند تناست هذا الليكند مع أيون النيكل(II) لوحظ أن الحزمة تزاح نحو تردد اوطاً يدل على تناست مجموعة الأزوبيثين مع الأيون الفلزي⁽⁵²⁾. ظهر التردد الامطاطي لمجموعة الكاربوبيل الليكند في المنطقة (1730) سـ⁻¹ عند تناست هذا الليكند مع أيون النيكل(II) في الوسط المُتعادل تقريباً لوحظ أن الحزمة تزاح نحو تردد اوطاً وذلك بسبب تناست ذرة الأوكسجين الكاربونيّة مع الأيون الفلزي⁽⁵²⁾. أمّا في الوسط القلوي فقد اختفت هذه الحزمة نتيجة تحول صيغة الكيتو إلى صيغة الإينول، إذ ظهرت حزمة C-O عند تردد (1107-1150) سـ⁻¹ كما لوحظ ظهرت حزمة عند 1400 سـ⁻¹ تعود إلى تردد الإنحاء للمجموعة OH الإينولية مما يعزز إرتباط الأيون الفلزي مع الليكند أعلى عن طريق ذرة الأوكسجين الإينولية وإن ظهور حزم حادة وقوية عند 1631-1635 سـ⁻¹ و 1571-1581 سـ⁻¹ تُشخص وجود $\text{v}_{\text{C}=\text{N}} + \text{v}_{\text{O-C=N}}$ وكروموفور الآرلين (C=N-N=C) على التوالي والتي تعدّ إثباتاً على تكون الشكل الإينولي في الوسط القلوي^(55,52). ظهرت حزمة NH في الليكند عند (3211) سـ⁻¹ وعند تكوين المُعقدات يصبح الحال أكثر تعقيداً بسبب العديد من العوامل⁽⁵²⁾ منها تأثير الآصرة

مجموعة الحالات وهذا ينطبق مع قياسات التوصيل الكهربائي . ظهر التردد الامطاطي للكلوريد عند (547-550) سـ¹ وان هذا التردد يعود الى الاصرة الأيوية بين الكلور والنحيل⁽⁵²⁾ في المعقّدات المُحضرّة في الوسط المُتعادل تقريباً (٦-٧)، أما المعقّدات المُحضرّة في الوسط القاعدي لا يظهر لها حزم وهذا ينطبق مع قياسات التوصيل الكهربائي . أعطت مجموعة الكبريتات حزم في الوسط المُتعادل تقريباً (٦-٧) الاولى عند (1133-1137) سـ¹ والثانية عند (670-673) سـ¹ تدل على ارتباط جذر الكبريتات بشكل أيوني⁽⁵⁵⁾، أما المعقّدات المُحضرّة في الوسط القاعدي لا يظهر لها حزم وهذا ينطبق مع قياسات التوصيل الكهربائي . تعطي مجموعة M-N حزمة عند تردد (410-492) سـ¹ ومجموعة M-O تعطي حزمة (662-681) سـ¹ ظهور هذه الحزم يعزّز تكون المعقّدات^(56,52) .

الفلزي . يظهر التردد الامطاطي لمجموعة O-H في الليكبات عند (٣٤٠٠) سـ¹ ويعود المدى الواسع إلى وجود الأصرة الهيدروجينية وكذلك نظراً لوجود العديد من الجاميع الأخرى (NH₂ و NH) التي تظهر في نفس المنطقة، ونظراً لوجود العديد من الجاميع فمن الصعوبة ملاحظة الإزاحة والتأكّد من التناسق . تعود الحزمة التي ظهرت في الموقع ١٣٣٠ سـ¹ إلى تردد الانحناء لمجموعة OH الفينولية وفي المعقّدات لوحظ إزاحة هذه الحزمة إلى تردد أوّطاً مما يدل على اشتراك هذه المجموعة في التناسق مع الأيونات الفلزية⁽⁵²⁾ . عند قياس طيف الأشعة تحت الحمراء للمعقّدات الفلزية الحاوية على الحالات في الوسط المُتعادل تقريباً (٦-٧) فقد لوحظ ظهور حزمة عند 1412-1537 سـ¹ تعود إلى الإرتباط الأيوني لمجموعة الحالات⁽⁵²⁾ . لكن هذه الحزم لا تظهر للمعقّدات المُحضرّة في الوسط القلوي وهذا يدل على عدم وجود

الجدول (٦) : تابع طيف الأشعة تحت الحمراء (سم⁻¹)

ت	ν _{M-O}	ν _{M-N}	ν _{AC or SO₄²⁻ or Cl⁻}	phenol		Oxim		Semi		
				ν _{O-H} ν _{NH2}	ν _{C-Oph}	ν _{O-H} ν _{NO}	ν _{C=N}	ν _{N-H}	ν _{C=O or C-O}	ν _{C=N}
ASCH	-	-	-	-	-	-	-	3211	1730	1678
DO _X PH ₂	-	-	-	-	-	3109-3184, 989	1662	-	-	-
APOH	-	-	-	3446	1140	-	-	-	-	-
1	524, 583	422,432, 461,481	1413, 1530	3396, 3315	1204	3056-3198, 995	1601	3208	1684	1625
2	522, 580	420,433, 460,479	1415, 1537	3397, 3312	1201	3049-3196, 997	1598	3207	1685	1629
3	520, 584	425,440, 461,482	1412, 1535	3395, 3310	1205	3050-3197, 999	1599	3208	1683	1628
4	530, 590	439,458, 471,491	-	3356, 3313	1194	3056-3196, 998	1605	-	1150	1630
5	535, 585	438,457, 470,490	-	3354, 3316	1190	3049-3197, 996	1604	-	1148	1632
6	525, 580	425,433, 460,485	550	3393, 3313	1182	3067-3209, 997	1603	3209	1687	1627
7	529, 575	424,434,458,487	547	3391, 3312	1180	3066-3208, 997	1604	3208	1688	1625
8	527, 582	426,436, 457,489	548	3395, 3314	1184	3066-3209, 997	1605	3209	1685	1627
9	515, 572	420,433, 460,485	-	3393, 3313	1188	3064-3208, 997	1602	-	1107	1635
10	519, 569	423,436, 458,487	-	3397, 3319	1189	3064-3206, 996	1600	-	1109	1633
11	551, 590	411,445, 464,490	673, 1135	3393, 3308	1174	3049-3208, 997	1603	3208	1684	1635
12	549, 589	412,440, 460,492	670, 1133	3390, 3309	1175	3050-3207, 996	1602	3207	1685	1636
13	553, 592	410,439, 462,489	672, 1137	3389, 3308	1176	3052-3209, 995	1605	3209	1680	1638
14	530, 563	415,439, 467,490	-	3396, 3315	1149	3049-3209, 997	1603	-	1109	1622
15	535, 565	412,440, 466,492	-	3393, 3317	1145	3050-3207, 997	1605	-	1112	1623

المُحضرَة الصلبة بأشعة الليزر لمدة زمنية كما في أعلاه ولوحظ أن معظم المُعَقَّدات مستقرة تجاه هذا النوع من الإشعاع عبر قياس درجة الانصهار أو التفكك والتوصيلية المolare والأطيف الالكترونية⁽⁴⁵⁾.

سُعِّدت جميع المركبات قيد الدرس بأشعة الليزر لمدة زمنية انحصرت من نصف ساعة إلى ساعتين ونصف، لاحظنا أن جميع الليكينات لا تتأثر بهذا النوع من الإشعاع فهي لا تتصهر ولا تفكك من خلال تابع طيف درجة الانصهار أو التفكك، والأطيف الإلكترونية، (الجدول 7-9). وأعقب ذلك تشيع جميع المُعَقَّدات

الجدول (٧) : تأثير تشعيع الليكيدات باشعة الليزر

ن (د)	ن (ساعة)	ل	ن (د)	ن (ساعة)	ل
152	0.0		260	0.0	
152	0.5		259	0.5	
152	1.0		259	1.0	
152	1.5		258	1.5	
151	2.0		259	2.0	
151	2.5		258	2.5	

الجدول (٨) : تأثير تشعيع المعدات المحضر في الوسط المعادل قليلاً باشعة الليزر

رقم المعد	v ₁ (سم ⁻¹)	ص	د (د)	ن (ساعة)	رقم المعد	v ₁ (سم ⁻¹)	ص	د (د)	ن (ساعة)	رقم المعد	v ₁ (سم ⁻¹)	ص	د (د)	ن (ساعة)			
3	10204.08	139	267	0.0	10204.08	136	267	0.0	10204.08	138	267	0.0	1	10204.08	139	267	0.0
3	10204.08	137	268	0.5	10204.08	136	267	0.5	10204.08	138	268	0.5	1	10204.08	137	268	0.5
3	10204.08	137	267	1.0	10204.08	137	269	1.0	10204.08	135	269	1.0	1	10204.08	137	269	1.0
3	10204.08	137	268	1.5	10204.08	137	269	1.5	10204.08	137	268	1.5	1	10204.08	137	268	1.5
3	10204.08	136	267	2.0	10204.08	135	267	2.0	10204.08	136	268	2.0	1	10204.08	136	268	2.0
3	10204.08	136	267	2.5	10204.08	135	269	2.5	10204.08	169	200*	0.5	1	10193.68	169	200*	0.5
2	10193.68	169	200*	0.5	10193.68	170	201*	0.5	10193.68	168	200*	1.0	1	10193.68	168	200*	1.0
2	10193.68	170	199*	1.0	10193.68	168	201*	1.0	10193.68	169	199*	1.5	1	10193.68	169	199*	1.5
2	10193.68	170	199*	1.5	10193.68	170	200*	1.5	10193.68	168	199*	2.0	1	10193.68	168	199*	2.0
2	10193.68	169	200*	2.0	10193.68	169	199*	2.0	10193.68	170	201*	2.5	1	10193.68	170	201*	2.5
2	10193.68	169	201*	2.5	10193.68	168	201*	2.5	10193.68	169	200*	0.5	1	10193.68	168	200*	0.5
7	10152.28	160	240	0.0	10152.28	158	240	0.0	10152.28	159	240	0.0	6	10152.28	159	240	0.0
7	10152.28	159	239	0.5	10152.28	159	240	0.5	10152.28	158	240	0.5	6	10152.28	158	240	0.5
7	10152.28	159	239	1.0	10152.28	160	238	1.0	10152.28	158	239	1.0	6	10152.28	158	239	1.0
7	10152.28	160	240	1.5	10152.28	160	239	1.5	10152.28	160	240	1.5	6	10152.28	160	240	1.5
7	10152.28	158	239	2.0	10152.28	159	240	2.0	10152.28	160	238	2.0	6	10152.28	160	238	2.0
7	10152.28	158	240	2.5	10152.28	159	239	2.5	10152.28	158	239	2.5	6	10152.28	158	239	2.5
13	10204.08	132	244	0.0	10204.08	129	244	0.0	10204.08	130	244	0.0	11	10204.08	130	244	0.0
13	10204.08	131	245	0.5	10204.08	129	243	0.5	10204.08	130	244	0.5	11	10204.08	130	244	0.5
13	10204.08	131	245	1.0	10204.08	129	244	1.0	10204.08	129	244	1.0	11	10204.08	129	244	1.0
13	10204.08	130	244	1.5	10204.08	130	244	1.5	10204.08	130	243	1.5	11	10204.08	130	243	1.5
13	10204.08	130	244	2.0	10204.08	130	245	2.0	10204.08	129	244	2.0	11	10204.08	129	244	2.0
13	10204.08	131	244	2.5	10204.08	129	245	2.5	10204.08	130	243	2.5	11	10204.08	130	243	2.5

الجدول (٩) : نتائج تشعيع المعقدات المحضرة في الوسط القلوي باشعة الليزر

رقم المعند	ن (ساعة)	د (د)	ص (س)	v ₁ (س ^{-١})	رقم المعند	ن (ساعة)	د (د)	ص (س)	v ₁ (س ^{-١})
5	10193.68	7	240	0.0	10	10193.68	5	240	0.0
	10193.68	6	240	0.5		10193.68	6	240	0.5
	10193.68	6	240	1.0		10193.68	7	240	1.0
	10193.68	6	240	1.5		10193.68	6	239	1.5
	10193.68	6	240	2.0		10193.68	6	239	2.0
	10193.68	6	239	2.5		10193.68	6	239	2.5
	10193.68	5	240	0.0		10193.68	7	240	0.0
	10193.68	5	240	0.5		10193.68	7	240	0.5
	10193.68	5	239	1.0		10193.68	7	240	1.0
	10193.68	6	240	1.5		10193.68	7	240	1.5
15	10193.68	6	239	2.0		10193.68	8	239	2.0
	10193.68	6	239	2.5		10193.68	8	239	2.5
	10193.68	6	240	0.0		10193.68	5	240	0.0
	10193.68	6	240	0.5		10193.68	5	240	0.5
	10193.68	6	239	1.0		10193.68	5	239	1.0
	10193.68	6	239	1.5		10193.68	6	239	1.5
	10193.68	6	239	2.0		10193.68	6	239	2.0
	10193.68	6	239	2.5		10193.68	6	239	2.5
	10193.68	6	239	2.5		10193.68	6	239	2.5
	10193.68	6	239	2.5		10193.68	6	239	2.5

أظهرت نتائج تقييم الفعالية الحيوية للبيكيدات والمعقدات قيد الدرس على البكتيريا المرضية (*E. coli*) و (*Staphylococcus aureus*)

كما مبين في الجدول أدناه .

الجدول (١٠) : الفعالية مضادة البكتيريا للبيكيدات والمعقدات

المعدن	Streptococcus species			Staphylococcus aureus			E. coli		
	500 μg/ml	250 μg/ml	125 μg/ml	500 μg/ml	250 μg/ml	125 μg/ml	500 μg/ml	250 μg/ml	125 μg/ml
AScH	R	R	R	R	R	R	R	R	R
ACO _x H ₂	R	R	R	R	R	R	R	R	R
1	R	R	R	R	R	R	R	R	R
2	R	R	R	R	R	R	R	R	R
3	R	R	R	R	R	R	R	R	R
4	R	R	R	R	R	R	R	R	R
5	R	R	R	R	R	R	R	R	R
6	R	R	R	R	R	R	R	R	R
7	R	R	R	R	R	R	R	R	R
8	R	R	R	R	R	R	R	R	R
9	R	R	R	R	R	R	R	R	R
10	R	R	R	R	R	R	R	R	R
11	R	R	R	R	R	R	R	R	R
12	R	R	R	R	R	R	R	R	R
13	R	R	R	R	R	R	R	R	R
14	R	R	R	R	R	R	R	R	R
15	R	R	R	R	R	R	R	R	R
Standard antibiotic	13mm			14mm			12mm		

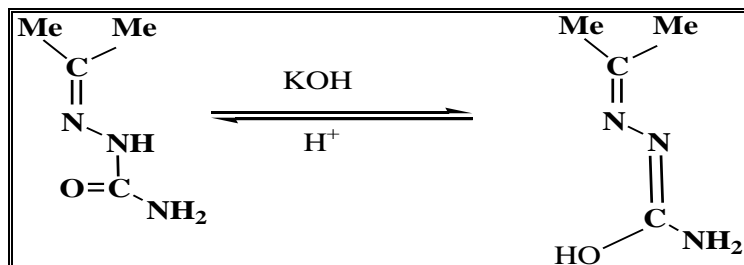
= متساوية أي أن البكتيريا لا تتأثر

الاستنتاج

خلال ذرة تروجين الأزوميدين وذرة الأوكسجين الكاربونيّة، حيث يعمل الليكند بشكل ثانوي السن كيلتي مُتعادل الشحنة. أما في الوسط القلوي فيتناصق من خلال ذرة تروجين الأزوميدين وذرة الأوكسجين الائتمالية، حيث يعمل بشكل ليكند ثانوي السن كيلتي مُتعادل عن طريق تحوله من هيئة الكيتو إلى هيئة الإينول كما مبين أدناه:

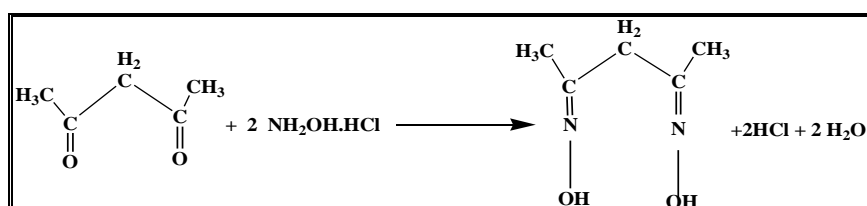
اعتماداً على نتائج القياسات الكمية والقياسات الطيفية والخصائص الفيزيائية وتأثير أشعة الليزر وتقدير الفعالية ضد بكتيريا *Staphylococcus* و *Streptococcus species* *E. coli* و *aureus* تبيّن ما يأتي:

1. يتناسق الليكند ASCH مع أيون النikel(II) في جميع المعقّدات في الوسط المُتعادل تقريباً (الدالة الحامضية 6-7) من



الشحنة . أما في الوسط القلوي يعمل بشكل ليكند ثانوي السن كيلتي سالب الشحنة (-1) لفقدانه بروتون واحد فقط كما مبين أدناه:

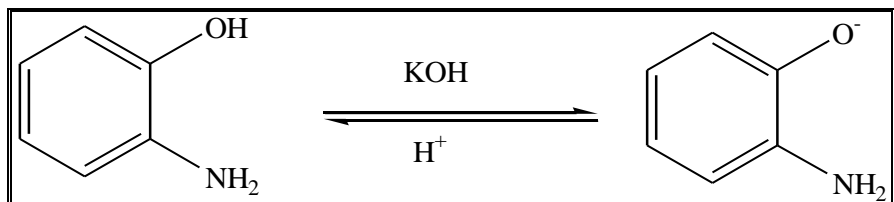
2. يتناسق ليكند DO_xPH_2 في جميع المعقّدات في الوسط المُتعادل تقريباً (الدالة الحامضية 6-7) من خلال ذرّتي تروجين الأزوبيدين، حيث يعمل ليكند بشكل ثانوي السن كيلتي مُتعادل



أ. د. زهور فتحي داؤد وآلاء جاسم محمد: تحضير وتشخيص مُعَقَّدات . . .

أما في الوسط القلوي فيعمل بشكل ليكيند ثانوي السن كيلتي سالب الشحنة (−1) لفقدانه بروتون واحد فقط كما مبين أدناه:

3- يناسب APOH عند دالة حامضية 6-7 من خلال ذرتين الأوكسجين والنتروجين، حيث يعمل الليكيند بشكل ثانوي السن كيلتي مُتعادل الشحنة .



6. المُعَقَّدات الناتجة في الوسط القلوي تكون مُتعادلة صيغتها $[Ni(ASch)(DO_xPH_2)(APO)]$

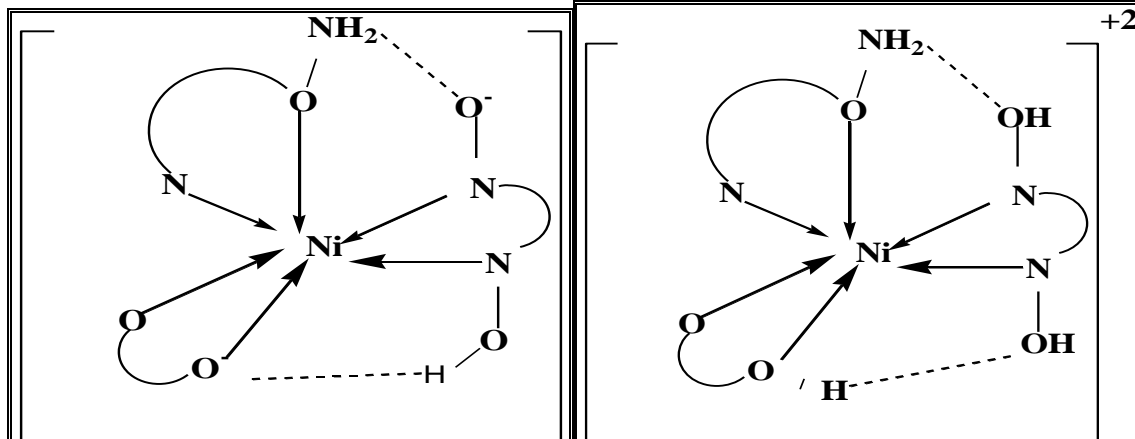
7. ايون النيكل(II) في جميع المُعَقَّدات يكون سداسي التناست،

يأخذ شكل ثانوي السطوح، كما هو مُبيَّن بالأشكال أدناه

4. لا تنساق الأيونات اللاعضوية (Cl^- و CH_3COO^- و SO_4^{2-}) في جميع المُعَقَّدات في الوسط المتعادل تقريباً إذ ترتبط بشكل أيوني .

5. المُعَقَّدات الناتجة في الوسط المتعادل تقريباً تكون بشكل أيونية

صيغتها (2+) موجبة



المُعَقَّدات في الوسط القلوي

المُعَقَّدات في الوسط المتعادل قليلاً

- v. Chemical Land 21.com.; "General Description and Application of Benzaldoxime", (2005).
٨. Aaron Rowe, New Nerve Gas Antidotes. (<http://blog.wired.com/Wiredscience/2007/11/building-abett.htm>); Wired(Magazine) [[2007-11-27]].
٩. M. Windholz; "The Merck Index", Merck and Co. Inc., Rahway, N. J., USA, 11th ed.(1989).
١٠. J. Kassa; J. Tox.- Clinical Toxicology, 40, 803 (2002) <http://dx.doi.org/10.1081/CLT-120015840>.
١١. H. Kalasz, M.Y. Hasan, R. Sheen, k. Kuca, G. Petroianu, K. Ludanyi, A. Gergely and K. Tekes, J. Bio. Anal. Chem., 385, 1062-1067 (2007).
١٢. H. Bati, A. Zülfikaroğlu , M. Tas, O. Andac and W.T.A. Harrison; Acta Cryst., E61, m2033-m2035 (2005).
١٣. A. Shokrollahi, M. Ghaedi, H.R. Rajabi, M.S. Niband; Spectrochim. Acta A Mol. Biomol. Spectrosc., 15;71(2), 655-62 (2008).
١٤. M. Kurtoglu; J. Serb. Chem. Soc.; 75(9), 1231-1239 (2010).

8. استنادا إلى نتائج درجة الإنصهار او التفكك والتوصيلية الكهربائية واطياف الأشعة فوق البنفسجية-المرئية والتشعيع بالليزر لوحظ أن المعقدات مستقرة تجاه هذا النوع من الإشعاع .

9. بینت نتائج الفعالية الحيوية لجميع الليكبات والمعقدات أنها لا تمتلك فعالية ضد البكتيريا قيد الدرس

المصادر

1. A. Al-Tharra; Nickel, J.A.E.C.S., 105, 45-47, This Knowledge is published in ; J. ANL -October (2001).
2. F.A. Cotton and G. Wilkinson; Advanced Inorganic Chemistry; Inter science, New York, 5th ed., 597,599,680,689,702,766(1988).
3. G. Wilkinson, R.D. Gillard and J.A. McCleverty; Comprehensive Coordination Chemistry; Pergamom Press, Oxford, England, 5, 46-49 (1987).
4. <http://ar.wikipedia.org>. (2018)
5. A. Stwertka; "A Guide To The Elements", Oxford Univ. Press Inc., New York, Rev. ed., 96-98 (1998)
٦. Toyo Rayon Com.; "Lactams", Jappan Appl., 14 (1966); Chem. Abst., 76, 59481e (1972).

2۳. S. Geol, S. Chandra and S. D. Dwivedi , J. Saudi Chem. Soc.; 20 ,651-660 (2016).
2۴. B.A. Salah, A. Tkandiand, M.G. Abd El-Nassa Res. Rev. J. Chem; 7(1) 38-48 (2018).
2۵. PubChem; National Center for Biotechnology Information, U.S. National Library of Medicine, 8600 Rockville Pike, Bethesda, MD20894, USA; and references therein.
2۶. A. George, P. V. Thomas, and D. D. Kumar; The Chemist, J. Amer. Ins. Chemists; 86 (1) ISSN 1945-0702 (2013).
2۷. Naeemy A., Mohammadi A., Bakhtiari H., Ashouri N., Walker R. B.; The Inst. Engin. Techn.: 9(10), 691-696 (2014).
2۸. O.M.I. Adly; Spectrochim. Acta A Mol. Biomol. Spectrosc., 79(5), 1295–1303 (2011).
2۹. P. R. Shirode; Chem Sci Trans.; 1(2), 396-400 (2012)
3۰. B. Jain, M. Verma and S. Malik; Der Chemica Sinica; 5(1) 77-80 (2014)
3۱. Z.F. Dawood and R. R. A. Al-Bustani; IJST; 12(3) 38-50(2017).
3۲. Z.F. Dawood and R.R.A. Al-Bustani; 3rd Chem. Conf., Mosul-Iraq; 24th–25th; 110-127 (2018)
3۳. Z.F. Dawood and A. M.A. Al-Izzy; JEPS; 27(4) 49-66(2018).
1۵. L. Martínez, J.S. Gancheff, F.E. Hahn, R.A. Burrow, R. González, C. Kremer, R. Chiozzone; Spectrochim. Acta A Mol Biomol Spectrosc.; 15(105) 439-445 (2013).
۱۶. X. Totta, A.A. Papadopoulou, A.G. Hatzidimitriou, A. Papadopoulos and G. Psomas ; J. Inorg. Biochem.; 145, 79-93 (2015).
۱۷. D. Basu, T. J. Woods and Th. B. Rauchfuss; Dalton Trans., 47, 7256-7262 (2018).
۱۸. E.R. Garbelini, M. Hörner, V.F. Giglio, A.H. da Silva, A. Barison and F.S. Nunes; Z. Anorg. Allg. Chem.; 635(8), 1236-1241(2009).
۱۹. J.D. Patel; RASĀYAN J. Chem.; 3(4) 625-630 (2010).
۲۰. M.M. Hania ; RJPBCS; 2(4) 12-17 (2011).
۲۱. K. Sapna, N.K. Sharma and S. Kohli; Intern. J. Sci. & Eng. Res.; 4(9) 15- 21 (2013).
۲۲. M.H. Shih, Y.Y. Xu, Y.S. Yang and T.T. Lin; Molecules; 20(3) 5184- 5201 (2015).

- د. عذاب طاهر الكانى "الفيزياء العامة" ، مطبعة الدار ٤٣ .
-٥١٣ الهندسية، دار الفجر للنشر والتوزيع، القاهرة،
٤٩٢ (٢٠٠٩).
44. M.M. Nasr, M.A. Gondal and Z.H. Yamnai; Fourth Saudi Sci. Conf.; March 21-24 th; 129 (2010).
45. Z.M.J.M. Al-Deleme; Preparation and Characterization of New Nickel(II) Complexes with Mixed Ligands and Evaluation of Their Antibacterial Activity and effect of Laser on Them, M. Sc. Thesis, Mosul Univ., Educ. Coll., Mosul-Iraq (2013).
46. A.I. Vogel; "Textbook of Practical Organic Chemistry"; Long-man Green, London, 3rd ed., 847,٣٤٤ (1964).
47. A.I. Vogel, "Textbook of Quantitative Inorganic Analysis" Longman Green, London, 3rd ed. (1987).
48. W. J. Geary; Coord. Chem. Rev.; 7, 81 (1981).
49. C. Georg and L. Paul; Copper or nickel complexes of ligands containing an azomethine, semicarbazone or hydrazone moiety; United State Patent 4775747 (1987); <http://www.Freepatentsonline.com>.
50. D. Sutton; Electronic Spectra of Transition metal Complexes;
34. C.O. Kappe; "Controlled microwave heating in modern organic synthesis"; Angew Chem. Int. Ed., 43, 6250-6284. (2004).
35. G. Rossu and J.A. Pearce; Foundations and industrial applications of microwave and radio frequency fields; John Wiley and Sons, Chichester -New York – Brisbane Toronto – Singapore (1995) .
36. P. Ali, P. Ramakanth and J. Meshram; J. Coord. Chem.; 63(2), 323-329 (2010).
37. G. Chattopadhyay and P.S. Ray; Cheminform; 43, 29(2012).
38. R.K. Shula and A. Sahu; Der Pharma chemical; 5(5)291-295(2013).
39. I. Sheikhshoae and Z. Tohidiyan; CJBAS; 03(05),164-170 (2015).
40. S. Jadhav, S. Kuharui and S. Qnadri, J. Chem.&Cheml.Sci,5(6),311-316(2015).
41. إسماعيل جميل الخطيب وعمر محمد حمزة وعز الدين جمال عبدالجبار، مجلة جامعة الأنبار للعلوم الصرفية . (٢٠١٧) ٦١-٥٦ (٣) ١١
- 42 . علي عبد الحسين سعيد . أسس الكيمياء الضوئية والليزرات. دار الكتاب الجامعية. العين- الامارات العربية المتحدة. الفصل السابع ص ١٤٣-١٦١ (٢٠٠٣) .

- McGrow-Hill Publishing Co.,
London, 11-21, 146-149 (1968).
- 51. .B.P. Lever; J. Chem. Edu.; 45,711-712. (1968)
 - 52. K. Nakamoto; Infrared and Raman Spectra of Inorganic and Coordination Compound; John Wiley and Sons, New York, 3rd. ed., 166-322 (1976).
 - 53. C. Demetgül; "Synthesis and Characterization of Oxime Compounds immobilized to solid support and their metal comp-lexes", Ph. D. Thesis, Chem. Dept., Institute of Natural and Applied Sci., Cukurova Univ. (2008).
 - 54. I. Demir, M. Bayrakei, K. Mutlu and A.I. Pekacar; Acta Chim. Solv., 55, 120-124 (2008).
 - 55. P.K. Singh, J.K. Koacher and J.P. Tandon; J. Inorg. Nucl. Chem.; 43, 1775 (1981).
 - 56. D. Nicholls; The Chemistry of Iron, Cobalt and Nickel; Pergamon Press, 1st ed., Oxford, England, (1973)